

# استفاده از خوشبندی مکانی برای پیش‌بینی پارامترهای کیفی آب زیرزمینی با مدل انفیس

محمد تقی اعلمی<sup>۱</sup>، وحید نورانی<sup>۲</sup>، فرناز دانشور و ثوقي<sup>۲</sup>

- استاد، گروه مهندسی عمران-آب، دانشکده مهندسی عمران، دانشگاه تبریز  
- دانشجوی دکتراى عمران-سازه‌های هیدرولیکی، دانشکده مهندسی عمران، دانشگاه تبریز  
(نویسنده مسئول) ۰۹۱۴۱۵۳۳۲۹۶ fdaneshvar.vousoughi@gmail.com

(دریافت ۹۳/۱۰/۱۴) پذیرش ۹۴/۳/۲۳

## چکیده

مدل‌سازی پارامترهای کیفی آب‌های زیرزمینی به عنوان یکی از منابع تأمین آب شهری، کشاورزی و صنعتی بسیار حائز اهمیت است. همراه با توسعه استفاده از روش‌های نوین مدل‌سازی در سال‌های اخیر، استفاده از ابزارهای پیش‌پردازش زمانی و مکانی داده‌ها در بالا بردن دقیقت این روش‌ها اهمیت زیادی یافته است. در پژوهش حاضر از ابزارهای زمین آمار یا کوکریجینگ و نقشه‌های خود سازمانده به ترتیب به عنوان تخمین‌گر مکانی و خوشبندی در ترکیب با مدل شبکه عصبی-فازی انفیس برای پیش‌بینی پارامترهای کیفی هدایت الکترونیکی و مقدار کل جامدات محلول در آب زیرزمینی دشت اردبیل استفاده شد. همچنین در این مطالعه، اثر خوشبندی مکانی در پیش‌بینی زمانی هدایت الکترونیکی و مقدار کل جامدات محلول بررسی شد. نتایج نشان داد که خوشبندی مکانی با انتخاب ورودی‌های مؤثر، روش مناسبی در جهت بهبود پیش‌بینی پارامترهای کیفی آب زیرزمینی با استفاده از مدل انفیس است.

**واژه‌های کلیدی:** ابزارهای زمین آمار، شبکه عصبی-فازی، پارامترهای کیفی آب زیرزمینی، روش خوشبندی، دشت اردبیل

## ۱- مقدمه

کاهش ریزش‌های جوی، افزایش جمعیت و نیاز به آب و مواد غذایی و برداشت بی‌رویه آب از چاههای مجاز و غیرمجاز موجب شده که در مناطق مختلف کشور سطح آب‌های زیرزمینی و کیفیت این آب‌ها در دشت‌های استان اردبیل بهویژه در دشت اردبیل تحت تأثیر قرار گیرد. با توجه به اهمیت کیفیت آب‌های زیرزمینی در تولید محصول و در نتیجه بهره‌وری اقتصادی، مدل‌سازی پارامترهای کیفیت آب زیرزمینی مهم است.

در زمینه مدل‌سازی پدیده‌های هیدرولوژیکی می‌توان به دو دسته پژوهش اشاره کرد: نخست روش‌های کلاسیک شامل مدل‌های تفهیمی و مدل‌های فیزیکی و دوم روش‌های نوین که مبتنی بر استفاده از ابزارهایی همچون شبکه عصبی مصنوعی و منطق فازی است [۱]. با استفاده از روش‌های هوش مصنوعی همچون شبکه عصبی و منطق فازی می‌توان بعضی از کاستی‌ها و مشکلات موجود در روش‌های تفهیمی را تا حدودی از بین برد [۲]. داده‌های موجود در فرایندهای هیدرولوژیکی همان‌طور که به صورت زمانی تغییر می‌کنند، ممکن است به صورت مکانی نیز متغیر باشند. بنابراین، خوشبندی مکانی داده‌ها می‌تواند قابلیت روش‌های داده

محوری همچون شبکه-عصبی-فازی انفیس<sup>۱</sup> را بهبود بخشد. روش نقشه‌های خودسازمانده یک روش پیشنهادی برای انجام خوشبندی مکانی داده‌های است. در مسائل مربوطه به آب‌های زیرزمینی، از آنجاکه کیفیت آن‌ها معمولاً در نقاط محدودی اندازه‌گیری می‌شود، لذا به‌منظور تخمین پارامترهای کیفی در سایر نقاط از ابزارهای زمین آمار از قبیل کریجینگ و کوکریجینگ استفاده می‌شود [۳]. در زمینه کاربرد ابزارهای زمین آمار در تخمین مکانی پارامترهای کیفیت آب زیرزمینی می‌توان به پژوهش‌های زیادی از جمله ریزو و موسر در زمینه تحلیل ۱۹ پارامتر شیمیایی آب زیرزمینی و داده‌های میکروبی، گاوس و همکاران در پیش‌بینی مکانی پارامتر آرسنیک، بارسا و پاسارلا در مورد شناسایی مکان‌های آلوده از نظر کیفیت آب زیرزمینی، تقی‌زاده و همکاران در تخمین مکانی شش پارامتر کیفی آب زیرزمینی شامل مقدار کل جامدات محلول، هدایت الکترونیکی، سختی، کلس، سولفات و نسبت جذب سدیم، نمین و همکاران برای تخمین داده‌های نسبت جذب سدیم و کلس با استفاده از داده‌های شوری آب زیرزمینی، احمدیان در تخمین مکانی پارامترهای مقدار کل جامدات محلول، هدایت

<sup>۱</sup> ANFIS

مدل شبکه عصبی را برای پیش‌بینی شوری منابع آب ارائه دادند [۲۰]. برج و همکاران قابلیت شبکه عصبی را در تخمین شوری آب زیرزمینی در آبخوان ایسلند بررسی کردند. مدل شبکه عصبی پیشنهادی قابلیت انتخاب پارامترهای مکانی و زمانی بهینه را برای بهبود مدل دارا بود [۲۴]. ارزیوفسکی و همکاران کیفیت آب زیرزمینی و سطحی را تحت شرایط اقلیمی جنوب غرب لهستان با شبکه عصبی مصنوعی مدل‌سازی کردند [۲۵].

در زمینه پیش‌بینی پارامترهای کیفی آب زیرزمینی با استفاده از ابزار انفیس می‌توان به پژوهش‌های زیر اشاره کرد: موسوی و امیری آلوگری نیتراتی آب زیرزمینی را با استفاده از مدل انفیس پیش‌بینی کردند. آن‌ها از داده‌های بیکربنات، سختی، هدایت الکتریکی، کلسیم و منیزیم به عنوان ورودی برای مدل‌سازی پارامتر کیفی نیترات استفاده کردند [۲۶]. کیسی و آی نیز از انواع مدل‌های انفیس برای پیش‌بینی پارامتر اکسیژن مورد نیاز شیمیایی استفاده کردند [۲۷]. توتمزا و همکاران برای مدل‌سازی پارامتر هدایت الکتریکی آب زیرزمینی با استفاده از مدل انفیس از داده‌های مقدار کل جامدات محلول به عنوان ورودی بهره گرفتند. نتایج نشان دادند مدل انفیس قابلیت بالایی در مدل‌سازی پارامترهای کیفی آب زیرزمینی دارد [۲۸].

در این پژوهش، از سه گام مختلف برای پیش‌بینی پارامترهای کیفی هدایت الکتریکی و مقدار کل جامدات محلول استفاده شد. در گام اول، بدليل اینکه ایستگاه‌های اندازه‌گیری پارامترهای کیفی و پیزومترهای تراز آب زیرزمینی هم‌مکان نیستند، مقدار متغیرهای کیفی در محل پیزومترها با استفاده از روش کوکریجینگ تخمین زده شد. در گام دوم، پیزومترها با استفاده از روش نقشه‌های خودسازمانده، از نظر مکانی خوشبندی شدند. در گام نهایی با استفاده از ابزار انفیس، مقدار پارامترهای کیفی در پیزومتر مرکزی هر خوش برای یک گام زمانی جلوتر پیش‌بینی شد. نکته مهم دیگری که در این پژوهش مورد توجه قرار گرفت، پیش‌پردازش مکانی داده‌ها و انتخاب ورودی‌های مؤثر به وسیله آنالیز خوشبندی نقشه‌های خودسازمانده قبل از ورود به شبکه عصبی- فازی تطبیقی بود که با این کار می‌توان بازدهی مدل را تا حد مناسبی افزایش داد.

## ۲- مواد و روش‌ها

### ۲-۱- مدل شبکه عصبی- فازی تطبیقی

سیستم فازی، سیستمی منطبق بر قواعد منطقی اگر- آنگاه است که با تصوری‌های احتمال کلاسیک قابل تحلیل نیست. نقطه شروع ساخت یک سیستم فازی، به دست آوردن مجموعه‌ای از قواعد اگر- آنگاه فازی است. بنابراین داشتن روشی که با استفاده از آن بتوان

الکتریکی، یون‌های سدیم و نیترات، طاهری تیزرو و همکاران برای تخمین مکانی پارامترهای نسبت جذب سدیم، هدایت الکتریکی، مقدار کل جامدات محلول، سدیم و خاصیت اسیدی، موسوی فضل و همکاران در تخمین پارامترهای نیترات، سدیم و هدایت الکتریکی، دلبری در تخمین مکانی پارامترهای هدایت الکتریکی، مقدار کل جامدات محلول، سدیم و نسبت جذب سدیم و تقی‌زاده باز در زمینه تخمین مکانی پارامترهای سدیم، سختی، هدایت الکتریکی، کلر، نسبت جذب سدیم و سولفات اشاره کرد [۱۳-۴].

روش خوشبندی خودسازمانده در پژوهش‌های مرتبط با بسیاری از پدیده‌های هیدرولوژیکی کاربرد داشته است که از آن جمله می‌توان به کاربرد آن در زمینه آب زیرزمینی اشاره کرد. در زمینه کاربرد روش خوشبندی نقشه خودسازمانده، پترو و داسارگوس روش‌های آنالیز مؤلفه‌های اصلی و روش نقشه‌های خودسازمانده را به منظور تحلیل داده‌های کیفیت آب زیرزمینی به کار بردند. آن‌ها خوشبندی را برای دو سفره آب زیرزمینی شامل ۴۷ ایستگاه مشاهداتی برای ۱۴ متغیر کیفی به کار بردند. روش نقشه‌های خودسازمانده، خوشبندی درستی را برای حوضه ارائه داد [۱۴]. سانچز و همکاران روش نقشه‌های خودسازمانده را برای طبقه‌بندی داده‌های هیدروشیمیایی سفره‌ای واقع در منطقه نیمه خشک در جنوب شرقی اسپانیا اعمال کردند [۱۵]. هونگ و روزان برای تشخیص تأثیر نفوذ جریان سیلانی بر کیفیت آب زیرزمینی و همچنین روابط بین پارامترهای کیفی آب زیرزمینی از ابزار نقشه‌های خودسازمانده بهره گرفتند [۱۶]. نتایج، قابلیت این ابزار در تشخیص روابط دینامیکی بین پارامترهای با ابعاد بالا را به خوبی نشان داد. پترو و همکاران برای طبقه‌بندی ۱۳۱ نمونه آب زیرزمینی در دو آبخوان از روش‌های نقشه‌های خودسازمانده و GEO3DSOM استفاده کردند [۱۷]. هر دو روش در تشخیص تفاوت بین پارامترهای شیمیایی آب زیرزمینی را با استفاده از ابزار همکاران پارامترهای شیمیایی آب زیرزمینی را ارائه کردند. چویی و نقشه‌های خودسازمانده به دو گروه و شش زیرگروه تقسیم‌بندی کردند [۱۸]. نقویین و همکاران در مطالعه خود هشت پارامتر کیفی آب زیرزمینی را از نظر شوری طبقه‌بندی کردند. آن‌ها داده‌های هیدرولوژی‌شیمیایی را با روش نقشه‌های خودسازمانده در هشت گروه (دو گروه با شوری بالا، سه گروه با شوری کم و سه گروه با آب سالم و تازه) جای دادند [۱۹].

در سال‌های اخیر، شبکه عصبی مصنوعی به عنوان یک رویکرد متفاوت برای تخمین کیفیت آب آبخوان استفاده شده است [۲۰]. لین و چن مدل‌های مختلف شبکه عصبی مصنوعی را برای تعیین پارامترهای آبخوان پیشنهاد دادند [۲۱، ۲۲ و ۲۳]. مییر و دندی

بنابراین با توجه به تابع زنگوله‌ای به عنوان تابع عضویت خروجی  $Q_i^1$  به صورت زیر محاسبه می‌شود

$$Q_i^1 = \mu_{Ai}(x) = \frac{1}{1 + ((x - c_i)/a_i)^{2b_i}} \quad (1)$$

که در این رابطه

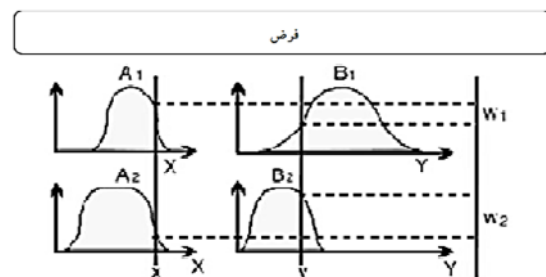
$x$  (یا  $y$ ) ورودی نرون و  $Ai$  یا  $(B_{i,2})$  سیستم فازی مربوطه و همچنین  $\{ai, bi, ci\}$  متغیرهای تطبیقی هستند که به عنوان پارامترهای مقدم شناخته می‌شوند.

در لایه دوم تمامی قوانین موجود میان ورودی با به کارگیری قاعده تقاطع یا همان اشتراک فازی (AND) فرمول بندی می‌شوند. برای هر قانون عملیات ضرب برای برآورد ضریب استفاده می‌شود

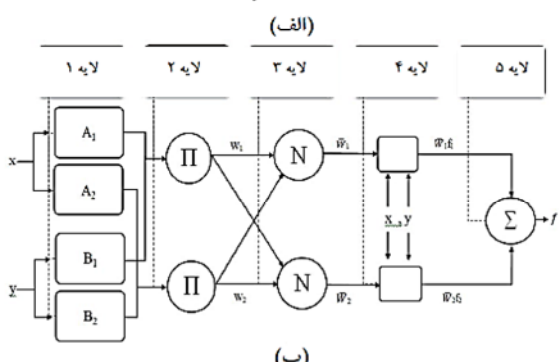
$$Q_i^2 = w_i = \mu_{Ai}(x) \cdot \mu_{Bi}(x) \quad i=1, 2 \quad (2)$$

در لایه سوم نرون  $i$  ام، ضریب نرمال شده به صورت زیر محاسبه می‌شود

$$Q_i^3 = \bar{w}_i = \frac{w_i}{w_1 + w_2} \quad i=1, 2 \quad (3)$$



$$\left. \begin{array}{l} f_1 = p_1 x + q_1 y + r_1 \\ f_2 = p_2 x + q_2 y + r_2 \end{array} \right\} \begin{array}{l} f = \frac{w_1}{w_1 \pm w_2} f_1 + \frac{w_2}{w_1 + w_2} f_2 \\ \text{or} \end{array}$$



شکل ۱-الف- مکانیسم قوانین سیستم فازی تاکاجی - سوگنو  
ب- آرایش معادل [۲۹] ANFIS

اطلاعات موجود برای ساخت این قواعد را تعیین کرد به عنوان ابزاری کارآمد به شمار می‌رود. در این میان شبکه‌های عصبی- مصنوعی به دلیل قابلیت‌های آموزش پذیری و با استفاده از الگوهای مختلف آموزشی می‌توانند ارتباط مناسبی بین متغیرهای ورودی و خروجی ایجاد نمایند. لذا استفاده ترکیبی از سیستم استنتاج فازی و شبکه‌های عصبی- مصنوعی می‌تواند ابزار قدرتمندی با عنوان سیستم استنتاج فازی- عصبی تطبیقی به وجود آورد. در این روش ترکیبی، بخش فازی، رابطه بین متغیرهای ورودی و خروجی را ایجاد کرده و پارامترهای مربوط به تابع عضویت بخش فازی به وسیله شبکه عصبی بهینه می‌شود.

در سیستم استنتاج فازی- عصبی تطبیقی ابتدا ساختار یک مدل با پارامترهای مشخص که متناسب با ورودی‌ها، درجه عضویت و قوانین است، انتخاب می‌شود. سپس بخشی از داده‌های موجود که دربرگیرنده تمامی خصوصیات داده‌ها شامل داده‌های بیشینه و کمینه باشد، انتخاب شده و در مرحله آموزش با کمینه کردن میزان خطأ، پارامترهای مدل به مقداری واقعی نزدیک می‌شوند. پس از آموزش سیستم و انتخاب پارامترهای مناسب، نیاز به بررسی صحت‌سنجی مدل است. از این رو بخشی از داده‌ها که در مرحله آموزش به کار نرفته است، به عنوان ورودی در مرحله صحت‌سنجی مورد استفاده قرار می‌گیرد تا از دقت و اعتبار مدل اطمینان حاصل شود. مدل انفیس غالباً با استفاده از یک سیستم فازی تاکاجی - سوگنو به صورت ساختار شبکه‌ای پیش‌رونده و دارای پنج لایه است. به عنوان نمونه یک مدل انفیس مرتبه اول تاکاجی - سوگنو با دو ورودی، یک خروجی و دو تابع عضویت برای هر یک از ورودی‌ها در شکل ۱ نشان داده شده است [۲۹]. مطابق شکل ۱ فرض شد که سیستم فازی دارای ورودی  $x$  و  $y$  و یک خروجی  $f$  است. برای چنین مدلی قوانین معمولی با در نظر گرفتن دو قانون فازی اگر- آنگاه به صورت زیر تعریف می‌شود:

Rule (1): If  $\mu(x)$  is  $A_1$  and  $\mu(y)$  is  $B_1$ :  $f_1 = p_1 x + q_1 y + r_1$

Rule (2): If  $\mu(x)$  is  $A_2$  and  $\mu(y)$  is  $B_2$ :  $f_2 = p_2 x + q_2 y + r_2$

که متغیرهای  $B_1, A_1, A_2, B_2$  به ترتیب توابع عضویت برای ورودی  $x$  و  $y$  های هستند و  $p_1, p_2, q_1, q_2, r_1, r_2$  پارامترهای تابع خروجی هستند. بنابراین در این حالت فرمول بندی انفیس از یک آرایش شبکه عصبی پنج لایه پیش رو پیروی می‌کند.

در لایه نخست، هر نرون درجه عضویت متغیر را تعیین می‌کند. اگر خروجی نرون  $i$ -ام در لایه  $k$ -ام به صورت  $Q_i^k$  نشان داده شود،

شده سپس به حد ثابتی می‌رسد که این فاصله را شعاع تأثیر و مقدار نیم‌تغییرنما که ثابت شده را حد آستانه گویند.

اگر برای تخمین یک متغیر اصلی از یک یا چند متغیر کمکی دارای همبستگی بالا با متغیر اصلی استفاده شود در این صورت روش تخمین کوکریجینگ نامیده می‌شود. سیستم معادلاتی کوکریجینگ را می‌توان به هر تعداد متغیر ثانویه تعیین داد. با فرض وجود فقط یک متغیر مکانی کمکی ( $x_i$ )  $Z_2$  در کنار متغیر مکانی اصلی ( $x_i$ )  $Z_1$  مقدار نامعلوم متغیر در نقطه  $x_0$  برابر  $(x_0)^* Z$  است که در تخمین‌گر کوکریجینگ به صورت زیر تعریف می‌شود

$$Z^*(x_0) = \sum_{i=1}^n \lambda_{1i} Z_1(x_i) + \sum_{j=1}^m \lambda_{2j} Z_2(x_j) \quad (7)$$

که در آن

$n$  و  $m$  به ترتیب تعداد جفت مقایسه‌ها برای پارامترهای اصلی و کمکی و  $\lambda_{1i}$  و  $\lambda_{2j}$  عبارت‌اند از وزن‌های آماری اختصاص داده شده به این متغیرهای کمکی و ثانویه.

برای ارزیابی تخمین‌گرهای استفاده شده از روش ارزیابی مقابل استفاده می‌شود. در این روش برای کلیه نقاط مشاهده‌ای در هر مرحله یک نقطه مشاهده‌ای حذف و با استفاده از بقیه نقاط مشاهده‌ای آن نقطه برآورد می‌شود.

### ۲-۳- روش خوشبندی خودسازمانده

نقشه خودسازمانده به عنوان ابزاری مؤثر برای تبدیل روابط استاتیکی، غیرخطی و پیچیده موجود در داده‌های چندبعدی به روابط هندسی، ساده و با ابعاد کم اجازه می‌دهد تعداد خوشبندی با بازرسی دقیق مشخص شود [۲۲]. از انجایی که فشرده‌سازی اطلاعات در حین ساخت و حفظ روابط توپولوژیک و متريک داده‌های اولیه بر روی صفحه نمایش انجام می‌شود، می‌توان تصور کرد که نوعی انتزاع یا چکیده‌سازی نیز روی داده‌ها انجام می‌گیرد.

نقشه خودسازمانده یک نوع شبکه عصبی مصنوعی است که با استفاده از یادگیری بدون نظرارت برای تولید داده‌هایی با بعد کم (معمولًاً دو بعدی) آموزش داده می‌شوند. نمایش گستته از فضای ورودی نمونه‌های آموزش یافته، یک نقشه نامیده می‌شود. نقشه متشکل از اجزایی به نام گره‌ها یا نرون‌ها هست. یک بردار وزن مرتبط با هر گره وجود دارد که ابعاد آن بردار وزن، به اندازه همان بردار داده‌های ورودی است و موقعیت آن در فضای نقشه موجود است.

هدف از یادگیری در نقشه خودسازمانده این است که بخش‌های مختلف این شبکه پاسخگویی مشابه به الگوهای ورودی

در لایه چهارم نرون‌ها چگونگی مشارکت و یا به عبارتی تأثیر قانون ایام را در خروجی مدل محاسبه می‌کند

$$Q_i^4 = \bar{w}_i(p_i x + q_i y + r_i) = \bar{w}_i f_i \quad (4)$$

که در این رابطه

$\bar{w}_i$  خروجی لایه سوم و  $\{p_i, q_i, r_i\}$  پارامترهای تنظیمی هستند که در حقیقت به عنوان پارامترهای تالی یا نتیجه مطرح هستند.

در لایه آخر نیز خروجی نهایی و کلی انفیس به صورت زیر محاسبه می‌شود [۲۹]

$$Q_i^5 = \sum_i \bar{w}_i f_i = \frac{\sum_i w_i f_i}{\sum_i w_i} \quad (5)$$

پارامترهایی که باید در روند مدل انفیس بهینه‌سازی شوند عبارت‌اند از پارامترهای مقدم  $\{ai, bi, ci\}$  و پارامترهای تالی  $\{p_i, q_i, r_i\}$ . جانگ و همکاران یک الگوریتم حل ترکیبی برای یافتن مقادیر دقیق پارامترهای مدل انفیس ارائه نموده‌اند که دارای قابلیت بیشتری نسبت به روش کلاسیک بازگشتی است [۳۰].

### ۲-۴- ابزارهای زمین آمار (روش کوکریجینگ)

توسعه این روش بیشتر بواسطه شرایطی بود که در آن از یک متغیر تعداد نمونه کمی در دست بود. محل‌هایی که در آنها کمبود نمونه وجود دارد، به کمک متغیرهای ثانوی و با استفاده از همبستگی متقابل بین متغیرهای اصلی و ثانوی، تخمین زده می‌شوند. برای تحلیل و بررسی پیوستگی مکانی متغیر محیطی مورد نظر، از یک تابع واریوگرام کریجینگ و کوکریجینگ استفاده شده است [۳۱].

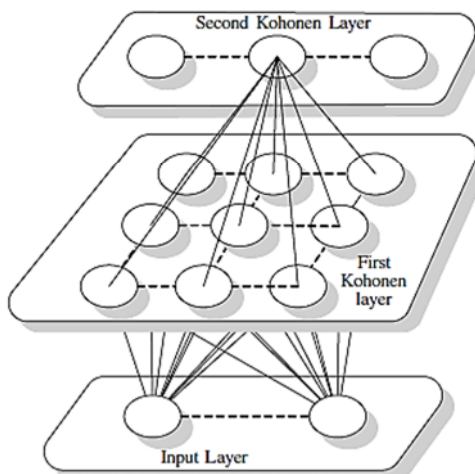
$$\gamma(h) = \frac{1}{2N(h)} \sum_{i=1}^{N(h)} (Z(x_i + h) - Z(x_i))^2 \quad (6)$$

که در آن

$\gamma(h)$  مقدار نیم‌تغییرنما در فاصله  $h$ ,  $Z(x_i + h)$  مقدار اندازه‌گیری شده متغیر در موقعیت  $(x_i + h)$ ,  $Z(x_i)$  مقدار اندازه‌گیری شده متغیر مکانی در موقعیت  $(x_i)$  و  $N(h)$  تعداد جفت مقایسه‌ها به فاصله  $h$  در محدوده مورد مطالعه، نیم‌تغییرنماها از سه پارامتر اثر قطعه‌ای، شعاع تأثیر و حد آستانه تشکیل شده‌اند. مقدار نیم‌تغییرنما به ازای  $h=0$  را اثر قطعه‌ای می‌گویند که معمولاً ناشی از وجود مولفه‌های تصادفی در توزیع متغیر است که در واقع به تصادفی بودن فرایندها بر می‌گردد و خطاهای نمونه‌برداری، آماده‌سازی، مقدار نیم‌تغییرنما، آزمایشگاهی و آنالیز است و با افزایش  $h$  تا فاصله معینی اضافه

#### ۴-۲- معیار ارزیابی موفقیت

در مرحله خوشه‌بندی مکانی، از ضریب سیلووه می‌توان به عنوان معیاری برای اندازه‌گیری اعتبار خوش استفاده نمود. این ضریب برای یک خوش درجه شاخص است. این ضریب یک خوش را بیان می‌کند که به صورت زیر بیان می‌شود [۳۳]



شکل ۲- ساختار شبکه نقشه خودسازمانده با دو سطح [۳۳]

$$S(i) = \frac{b(i) - a(i)}{\max\{a(i), b(i)\}} \quad (10)$$

که در آن

$S(i)$  مقدار سیلووه پیزومتر  $i$  است. مقادیر کوچک  $(i)$   $S$  بیانگر کمی شباخت است. کیفیت خوشه‌بندی همان خوش است. کیفیت خوشه‌بندی می‌تواند با استفاده از متوسط سیلووه برای مجموعه کل داده‌ها اندازه‌گیری شود.  $(i)$   $a$  فاصله اقلیدسی است که متوسط نامشابهتی خوش  $i$  را از تمام استگاه‌های دیگر در خوش  $A$  اندازه می‌گیرد.  $(i)$   $b$  فاصله اقلیدسی است که کمینه نامشابهتی متوسط استگاه  $i$  را از استگاه‌های دیگر در غیر از خوش  $A$  بیان می‌کند [۳۳].

در مرحله پیش‌بینی، دو معیار مختلف ضریب تبیین ( $R^2$ ) و جذر میانگین مربع خطاهای بهمنظور ارزیابی کارایی هر شبکه و توانایی آن برای پیشگویی دقیق استفاده شده است.

$$R^2 = 1 - \frac{\sum_{i=1}^N (G_{com_i} - G_{obs_i})^2}{\sum_{i=1}^N (G_{obs_i} - \bar{G}_{obs_i})^2} \quad (11)$$

$$RMSE = \sqrt{\frac{\sum_{i=1}^N (G_{com_i} - G_{obs_i})^2}{N}} \quad (12)$$

خاص داشته باشد. هنگامی که یک نمونه از داده‌ها برای آموزش به شبکه داده می‌شود، فاصله اقلیدسی آن از تمامی بردارهای وزنی محاسبه می‌شود. نرون بردار وزنی که بیشترین شباهت را با نمونه درودی دارد با نام (BMU) بهترین واحد تطبیق نامیده می‌شود. درین نگاشت، تنها یک نرون برنده وجود خواهد داشت و آن نرونی است که بردار وزنی آن نزدیک‌ترین فاصله به بردار ورودی را داشته باشد، که به سادگی با محاسبه فاصله اقلیدسی بین بردار ورودی و بردار وزنی تعیین می‌شود

$$d_{jk}^p = \sqrt{\sum_i (x_i^p - w_{jk,i})^2} \quad (8)$$

که در این رابطه

$x_i^p$  امین جز از  $p$  امین بردار ورودی  $x^p$  است و  $w_{j,k,i}$  پیوند وزنی  $x_i^p$  در نرون واقع در  $(j,k)$  لایه کوھنن<sup>۱</sup> است. نرون‌ها برای پیروز شدن (رسیدن به بهترین واحد تطبیق BMU) در لایه با یکدیگر رقابت می‌کنند، این نرون‌ها با حرف  $c$  مشخص شده‌اند. پس از یافتن BMU، بردارهای اولیه نقشه خودسازمانده، به روزرسانی می‌شوند.تابع همسایگی گوسین که به صورت زیر است، رایج‌ترین تابع مورد استفاده در این زمینه است

$$h_{ci}(r_{jk}(t)) = \exp(-\frac{1}{2} \frac{\|r_{jk}\|^2}{R^2(t)}) \quad (9)$$

که در این رابطه

$h_{ci}(r_{jk}(t))$  هسته همسایگی،  $r_{jk}(t)$  شعاع همسایگی است که معمولاً با زمان کاهش می‌یابد. گام‌های آموزش تا رسیدن به حداقل تکرار تعیین شده تکرار می‌شود. یک شبکه اساسی نقشه خودسازمانده از یک لایه ورودی و یک لایه کوھنن (لایه خروجی) تشکیل شده است. لایه ورودی شامل واحدهای ورودی است که داده‌ها با ابعاد بالا را دریافت می‌کنند. لایه کوھنن متشکل از واحدهای خروجی است که بر روی یک شبکه دو بعدی منظم قرار دارد. ساختار شبکه نقشه خودسازمانده با دو سطح در شکل ۲ نشان داده شده است که در آن یک مجموعه بزرگ از نمونه‌های اولیه (بسیار بزرگ) تراز تعداد خوشه‌های مورد انتظار) با استفاده از نقشه خودسازمانده ساخته شده است [۳۳]. در لایه دوم کوھنن داده‌های دسته‌بندی شده در لایه اول درون خوشه‌های خود قرار می‌گیرند.

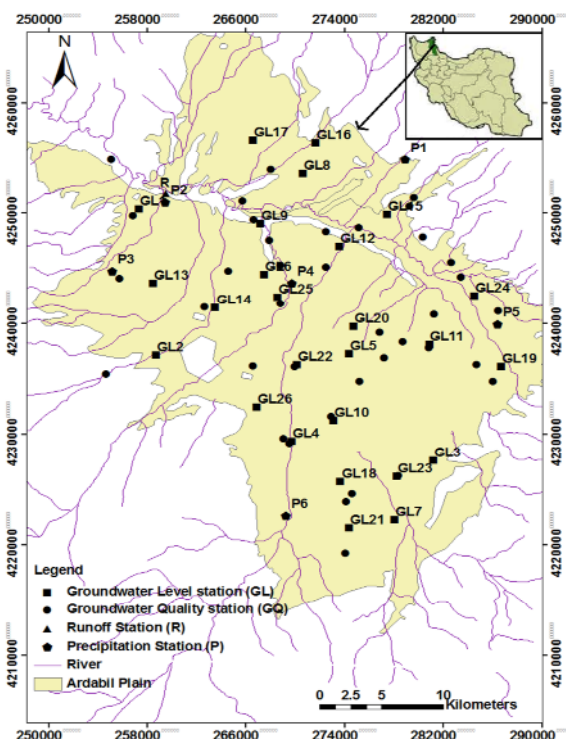
<sup>1</sup> Kohonen

یک بار آن در یکی از ماههای شهریور یا مهر است که تراز آب زیرزمینی به پایین ترین سطح خود می‌رسد. داده‌های تراز آب زیرزمینی در مقیاس ماهانه برداشت شده و در این پژوهش ۲۶ ایستگاه پیزومتری مورد مطالعه قرار گرفت (شکل ۳). دو مورد از مهم ترین شاخصهای کیفی آب زیرزمینی، پارامترهای هدایت و مقدار کل جامدات محلول است. پارامتر هدایت الکتریکی بیانگر مقدار نمک موجود در آب است که یون‌های موجود در آن توانایی هدایت الکتریکی را دارد. همچنین این پارامتر معیار مهمی در تعیین مناسب بودن آب برای مصارف شرب و کشاورزی است و نقش مهمی در کنترل سلامتی آب برای مصارف مختلف دارد. مقدار کل جامدات محلول یک اندازه‌گیری از مقدار مواد حل شده در آب و تازگی آب است. با توجه به گزارش‌های آب منطقه‌ای اردبیل، بیشترین مقدار کل جامدات محلول و هدایت الکتریکی در قسمت شمال و جنوب‌غربی دشت اردبیل مشاهده می‌شود. علت این مورد می‌تواند بدلیل حلالیت سازند مارنی در قسمت جنوب‌غربی دشت وجود سنگ‌های آهکی، فاضلاب شهری و کارخانه سیمان در قسمت شمال دشت اردبیل باشد. افزایش مقدار این پارامتر در آب زیرزمینی بیانگر آلودگی آبخوان است. خلاصه‌ای از داده‌های کیفیت، تراز و داده‌های هیدرولوژیکی (بارش و رواناب) در جدول ۱ آورده شده است.

که در آن  $N$  تعداد داده‌های مشاهداتی،  $G_{\text{com}}$  داده‌های محاسباتی (مقدار پیش‌بینی شده)،  $G_{\text{obs}}$  داده‌های مشاهداتی و  $\bar{G}_{\text{obs}}$  میانگین داده‌های مشاهداتی است. هر چه RMSE به صفر و  $R^2$  به یک نزدیک شود، جواب بهتری برای مدل حاصل شده است.

## ۲- منطقه مورد پژوهش

منطقه مورد پژوهش دشت اردبیل بود که در شمال غربی ایران در عرض جغرافیایی  $38^{\circ}$  درجه و  $3^{\circ}$  دقیقه تا  $38^{\circ} 27'$  درجه و  $3$  دقیقه شمالی و طول جغرافیایی  $47^{\circ}$  درجه و  $55^{\circ}$  دقیقه تا  $48^{\circ} 40'$  درجه و  $20^{\circ}$  دقیقه شرقی واقع شده است. دشت اردبیل مشرف بر ارتفاعات بخش غربی رشته کوه البرز (ارتفاعات تالش) و در امتداد دامنه شرقی سبلان قرار دارد. مساحت آن حدود  $990$  کیلومتر مربع است. متوسط بارش سالانه در ایستگاه سینوپتیک اردبیل حدود  $300$  میلی متر است. در این دشت اردبیهشت پر باران ترین ماه سال است. داده های کیفی آب زیرزمینی برای پارامترهای هدایت الکتریکی و مقدار کل جامدات محلول در  $38$  حلقه چاه در دشت اردبیل در دو ماه از سال از  $1374$  تا  $1391$  از سازمان آب استان اردبیل اخذ شدند. پارامترهای مذکور معمولاً دو بار در سال اندازه گیری می شوند که یک بار آن در یکی از ماههای اردبیهشت یا خرداد است که تراز آب زیرزمینی به بالاترین سطح خود می رسد و



**شکل ۳**- نقشه مورد مطالعه و موقعیت ایستگاه‌های کیفی و تراز آب زیرزمینی دشت اردبیل

جدول ۱-اطلاعات آماری داده‌ها

پارامتر	TDS	mg/L	$\mu\text{zimens}/\text{cm}$	EC	تراز آب زیرزمینی	m	مقدار بیشینه	میانگین	انحراف معیار
بارش		mm		۱۵۶	.			۱۷/۵۲	۲۲/۸۹
رواناب		$\text{m}^3/\text{s}$		۳۰۷۶/۶	.			۱۷۶/۹۴	۲۹۷/۷۲۴
				۱۴۵۸/۴۵	۱۲۹۹/۳۱			۱۳۳۹/۴۱۶	۳۹/۰۵
				۵۴۸۰	۱۴۸			۱۱۱۵/۷۶۳	۸۰۰/۶۶
				۳۸۳۶	۲۲/۶			۶۹۱/۹۱	-۵۴۱/۱۵۳

$$\lambda(h) = C_0 + A \left( 1 - e^{-\left(\frac{h}{r}\right)^2} \right) \quad \text{for } h > 0 \quad (13)$$

جدول ۲-انتخاب مدل مناسب برای واریوگرام تجربی بر اساس معیار RMSE

پارامترهای کیفی جذر مربع خطاهای			
کروی	گوسین	نمایی	آب زیرزمینی
۱/۱۲E-۳	۱/۰۵E-۳	۱/۱۶E-۳	هدایت الکتریکی
۰/۷۵E-۳	۰/۴۲E-۳	۰/۹E-۳	کل جامدات محلول

جدول ۳ محدوده پارامترهای واریوگرام را که به پارامترهای هدایت الکتریکی و کل جامدات محلول اعمال شده است، نشان می‌دهد. محدوده نتایج صحت‌سنجی برای مدل‌های گوسین اعمالی به پارامترهای کیفی در جدول ۴ آورده شده است. شکل ۵ مثالی از واریوگرام و نمودار صحت‌سنجی را برای پارامتر TDS نشان می‌دهد. شکل ۶ نقشه‌های حاصل از کوکریجینگ را برای ماه کم آب سال ۱۳۸۴، برای هر دو پارامتر نمایش می‌دهد. نتایج بیانگر این است که در مناطق شمالی و جنوبی دشت، مقدار پارامترهای هدایت الکتریکی و کل جامدات محلول بیشتر از سایر قسمت‌های دشت است.

### ۳-نتایج و بحث

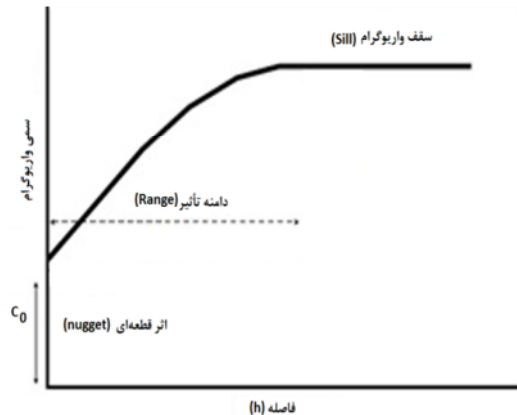
در کام اول این پژوهش، از آنجاکه پارامترهای کیفی دو بار در سال ۱۷ اندازه‌گیری می‌شوند و با توجه به دوره زمانی مورد مطالعه که سال است، روش تخمین گر کوکریجینگ ۳۴ بار به پارامترهای کیفی اعمال می‌شود. کمترین مقدار RMSE و بالاترین مقدار ضریب تبیین ( $R^2$ ) در مرحله صحت‌سنجی<sup>۱</sup> معیار انتخاب مدل شد. در روش کوکریجینگ، در میان سه نوع تابع واریوگرام شامل کروی، گوسین و نمایی، تابع گوسین برای پارامتر هدایت الکتریکی، پارامتر کل جامدات محلول و پارامتر تراز آب زیرزمینی از دقت بالایی برخوردار بود. جدول ۲ کمترین مقادیر RMSE را برای پارامترهای هدایت الکتریکی و کل جامدات محلول در مدل گوسین نمایش می‌دهد. در این جدول اعداد ارائه شده میانگین ۳۴ بار استفاده از مدل‌های کوکریجینگ است.

شکل ۴ نمودار یک واریوگرام را برای مدل گوسین نشان می‌دهد که در آن پارامترهای sill(A)، sill(r) و nugget( $C_0$ ) مشخص شده‌اند. مدل تشوری واریوگرام گوسین برازش شده توسط رابطه زیر با فواصل تأخیر  $h$  ارائه شده است [۳۴].

<sup>۱</sup> Cross-Validation

جدول ۳-محدوده پارامترهای واریوگرام روش کوکریجینگ برای پارامترهای هدایت الکتریکی و کل جامدات محلول

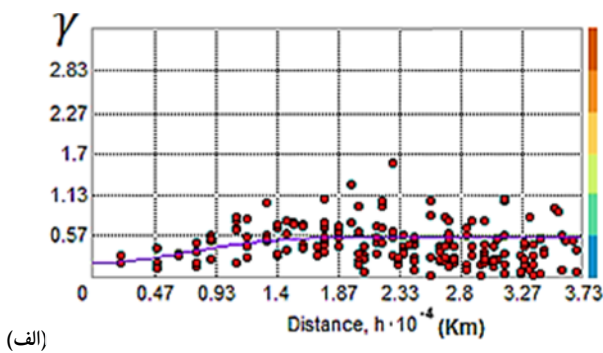
سیمیواریوگرام				پارامترها				
کراس واریوگرام	Range (Km)	Sill	Nugget	مدل	Range (Km)	Sill	Nugget	مدل
۱۸۳۳۳/۵-۲۳۱۵۱/۵	۰/۰۰۰۵-۰/۰۰۳	-	گوسین	۱۹۱۵۰-۲۴۶۰۰	۰/۱۷-۰/۴	۰/۱۵۴-۰/۲۱	گوسین	EC
۱۸۸۲۱/۱-۱۹۸۷۳/۹	۰/۰۰۰۷-۰/۰۰۳	-	گوسین	۱۷۲۴۴۲/۹-۲۱۸۷۹/۴	۰/۳۵۷-۰/۴۷۷	۰/۰۵۵-۰/۱۹۳	گوسین	TDS
				۱۸۳۳۳/۵-۲۳۱۵۱/۵	۰/۰۰۰۶-۰/۰۰۰۹	۰/۰۰۰۱-۰/۰۰۰۴	گوسین	تراز آب زیرزمینی



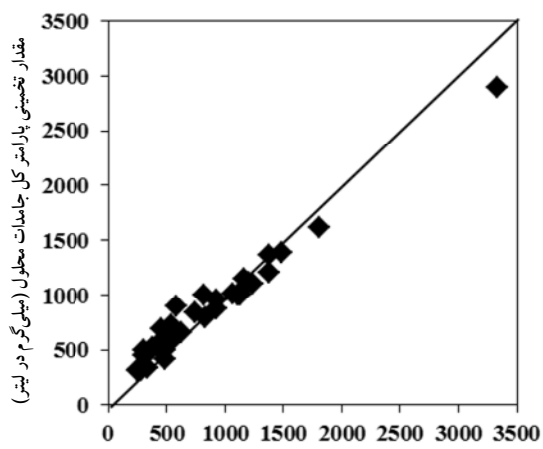
شکل ۴- مدل واریوگرام گوسین

جدول ۴- محدوده نتایج صحتسنجی مدل‌های مختلف واریوگرام

پارامتر	R	RMSE
هدایت الکتریکی	۰/۵۸-۰/۷۵	۵۵۵/۹-۶۹۲/۴
کل جامدات محلول	۰/۵۹-۰/۷۳	۲۰۹/۸-۶۸۸



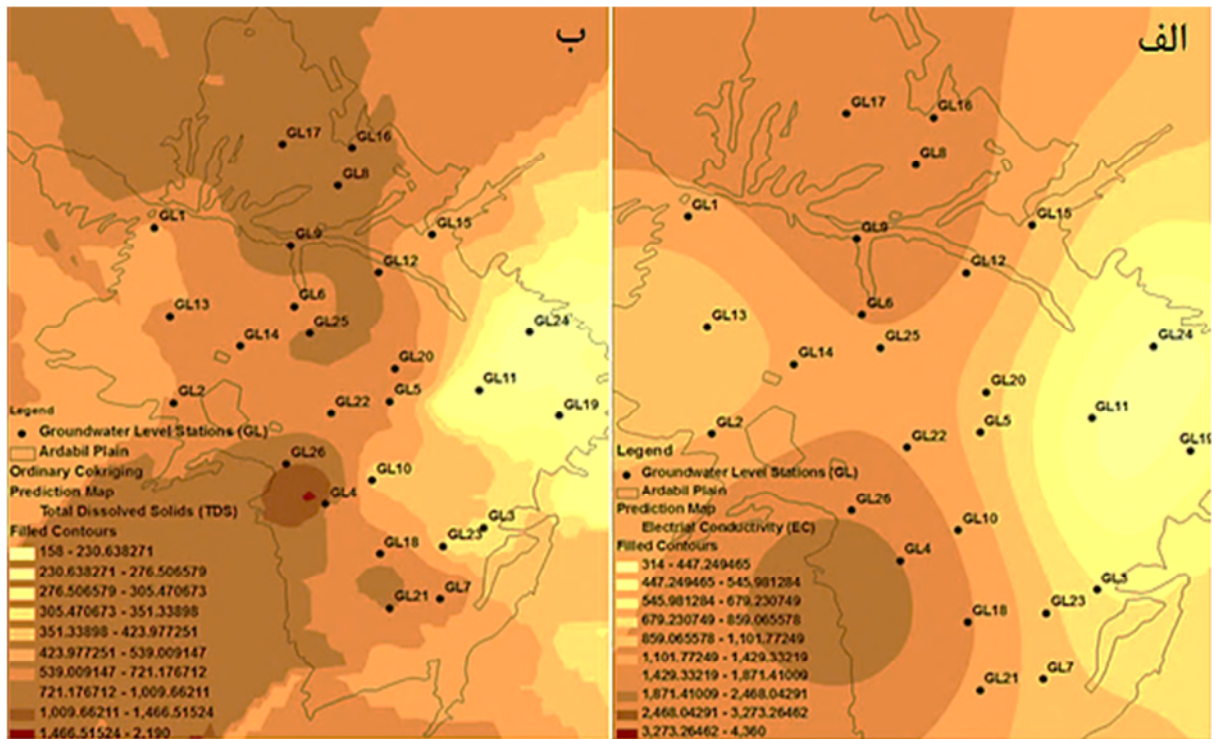
(الف)



شکل ۵- الف- نمونه‌ای از واریوگرام گوسین ب- نمونه‌ای از نتایج صحتسنجی برای پارامتر کل جامدات محلول

در گام دوم، بعد از تخمین مقدار پارامترهای کیفی در مکان پیزومترهای تراز آب زیرزمینی، برای دسته‌بندی داده‌ها از آنالیز خوشبندی نقشه خودسازمانده استفاده شد. نکته مهم در آنالیز خوشبندی، انتخاب تعداد دسته‌های خوشبندی بود که در آن، چهار خوشبندی انتخاب شد. نتایج خوشبندی در جدول‌های ۵ و ۶ آورده شده است. مطابق این جداول، خوشبندی پارامترهای EC و TDS تا حدودی مشابه یکدیگرند. شکل ۷ نتایج خوشبندی را برای دو متغیر EC و TDS نمایش می‌دهد. مطابق شکل‌های ۶ و ۷، جدول‌های ۵ و ۶ و آنچه در مورد ژئولوژی حوضه مورد مطالعه گفته شد، مناطق شمالی و جنوبی داشت که دارای آلودگی‌های بیشتری نسبت به سایر مناطق می‌باشند، در دو کلاس مجزا قرار گرفته‌اند. قسمت‌های شرقی و مرکزی با کمترین آلودگی در گروه‌های مجازی دیگر قرار گرفته‌اند.

در گام سوم این پژوهش، با توجه به مرکزیت پیزومتر مرکزی در منطقه مطالعاتی، این پیزومتر برای ارزیابی کیفیت آب زیرزمینی و برای به دست آوردن تخمینی کلی از تغییرات کیفیت آب زیرزمینی در هر خوشبندی انتخاب شد. در این پژوهش، فاصله اقلیدسی مابین میانگین پیزومترهای واقع در یک خوشبندی و تک تک پیزومترهای واقع در خوشبندی مطابق رابطه ۸ محاسبه شد و در نتیجه معیار کمترین فاصله اقلیدسی برای انتخاب پیزومتر مرکزی استفاده شد [۳۰]. همچنین از داده‌های تراز آب زیرزمینی، داده‌های بارش و رواناب در زمان‌های قبل و پارامتر کیفی در سال قبل برای همان ماه در پیزومتر مرکزی برای مدل‌سازی زمانی پارامترهای کیفی هدایت الکتریکی و مقدار کل جامدات محلول پیزومتر مرکزی استفاده شد. همانطور که قبلاً نیز گفته شد، در داشت اردیل داده‌های کیفی آب زیرزمینی در بازه‌های زمانی شش ماه (T) برای همه پیزومترها و داده‌های بارش (P)، رواناب (R) و تراز آب زیرزمینی (GL) در مقیاس ماهانه (t) اندازه‌گیری می‌شوند. همچنین برای تعیین میزان تأخیر زمانی پارامترهای ورودی با پارامترهای کیفی پیزومتر مرکزی از آنالیز حساسیت بهره گرفته شد. در این میان یکی از نکات مهم و اساسی در مورد مدل عصبی- فازی، تنظیم پارامترهای شبکه است. بنابراین برای یافتن ساختاری مناسب که انطباق بهتری با داده‌های سری زمانی پارامترهای کیفی داشته باشد، می‌توان از آنالیز حساسیت استفاده نمود. به این معنی که ساختارهای متفاوتی از تعداد ورودی‌ها و تعداد و شکل تابع عضویت باید مورد بررسی قرار گیرد. برای هر خوشبندی، مدل انفیس برای هر یک از پارامترها آموخته شد و معیارهای ارزیابی مدل برای تعیین بهترین مدل استفاده شد. نتایج پیش‌بینی زمانی



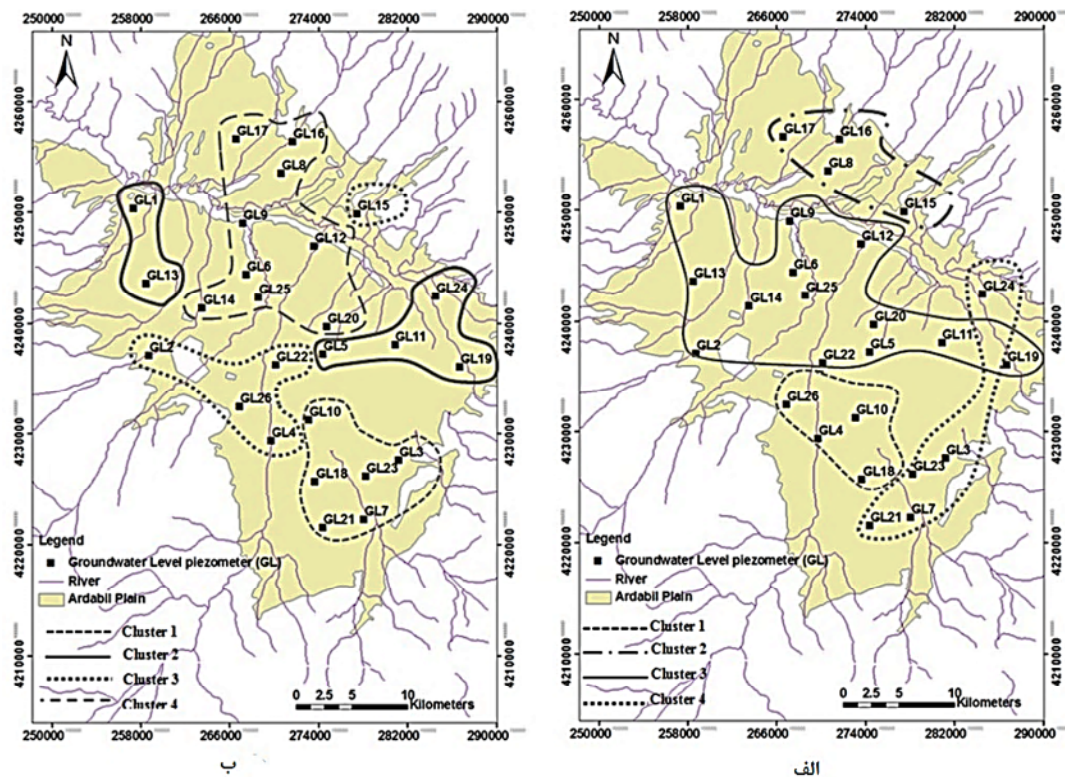
شکل ۶- پنهانی مکانی در ماه کم آب سال ۱۳۸۴ در دشت اردبیل، الف- مقدار کل جامدات محلول، ب- هدایت الکتریکی

جدول ۵- نتایج حاصل از خوشبندی نقشه خود سازمان ده برای پارامتر هدایت الکتریکی

شماره کلاس	پیزومترها	ضریب سیلوهه	پیزومتر مرکزی
کلاس ۱	GL۳, GL۷, GL۲۱, GL۲۳, GL۲۴	۰/۰۷۸۳, ۰/۰۷۹۰۹, ۰/۰۵۲۶۵, ۰/۰۷۷۷۹, ۰/۰۵۰۳۳	GL۷
کلاس ۲	GL۸, GL۱۵, GL۱۶, GL۱۷	۰/۰۲۸۹۲, ۰/۰۲۰۵۴, ۰/۰۵۹۴۲, ۰/۰۰۹۸	GL۱۶
کلاس ۳	GL۴, GL۱۰, GL۱۸, GL۲۶	۰/۰۳۶۹۶, ۰/۰۲۱۹۱, ۰/۰۲۱۸۱, ۰/۰۱۶۷	GL۴
کلاس ۴	GL۱, GL۲, GL۵, GL۶, GL۹, GL۱۱, GL۱۲, GL۱۳, GL۱۴, GL۱۹, GL۲۰, GL۲۲, GL۲۵	۰/۰۲۱۳۹, ۰/۰۰۹۸۵, ۰/۰۴۶۵۸, ۰/۰۲۹۸۶, ۰/۰۳۵۶۹, ۰/۰۴۰۳۵, ۰/۰۳۹۴۳, ۰/۰۴۱۱۳, ۰/۰۲۸۵, ۰/۰۰۴۵۶, ۰/۰۴۳۰۲, ۰/۰۱۳۷۱, ۰/۰۳۱۹۳	GL۵

جدول ۶- نتایج حاصل از خوشبندی نقشه خود سازمان ده برای پارامتر کل جامدات محلول

شماره کلاس	پیزومترها	ضریب سیلوهه	پیزومتر مرکزی
کلاس ۱	GL۳, GL۷, GL۱۰, GL۱۸, GL۲۱, GL۲۳	۰/۰۳۹۸, ۰/۰۶۲۲۶, ۰/۰۰۶۱۳, ۰/۰۲۹۶۹, ۰/۰۶۳۹۳, ۰/۰۵۸۲۷	GL۲۱
کلاس ۲	GL۱, GL۵, GL۱۱, GL۱۳, GL۱۹, GL۲۴	۰/۰۵۰۱۹, ۰/۰۳۵۴۷, ۰/۰۲۹۶۴, ۰/۰۱۸۰۴, ۰/۰۰۹۹۲, ۰/۰۵۱۰۷	GL۲۴
کلاس ۳	GL۲, GL۴, GL۱۵, GL۲۲, GL۲۶	-۰/۰۸۹۳, -۰/۰۱۳۶, ۰/۱۱۸۱, ۰/۰۲۳۷۲, ۰/۰۳۲۸۲	GL۲۶
کلاس ۴	GL۶, GL۸, GL۹, GL۱۲, GL۱۴, GL۱۶, GL۱۷, GL۲۰, GL۲۵	۰/۰۴۸۷۷, ۰/۰۳۵۶۰, ۰/۰۵۴۸۵, ۰/۰۳۸۹۲, ۰/۰۱۱۴۸, ۰/۰۲۷۶۳, ۰/۰۰۳۳۱, ۰/۰۰۴, ۰/۰۴۴۶۵	GL۹



شکل ۷- خوشبندی مکانی SOM، الف) متغیر EC، ب) متغیر TDS

معیارهای ارزیابی مدل‌سازی برای هر دو مرحله آموزش و صحت‌سننجی، نتایج منطقی را در پیش‌بینی پارامترهای هدایت الکتریکی و کل جامدات محلول نشان داد. نتایج قابل قبول مدل انفیس برای هر دو پارامتر، شناسایی صحیح الگوی کیفی پیزومترهای نماینده هر خوشة را تأیید می‌نماید. در حالت کلی، مدل انفیس به خوبی توانسته تغییرات پارامترهای کیفی آب زیرزمینی را

پارامترهای کیفی هدایت الکتریکی و کل جامدات محلول به ترتیب در جدول‌های ۷ و ۸ آورده شده است. تعداد و شکل تابع عضویت با دو و سه تابع عضویت مورد آزمایش قرار گرفته که نتایج آن برای هر یک از خوشه‌ها به صورت ضربی تبیین و جذر میانگین مربع خطاهای در مرحله صحت‌سننجی و واسنجی در جدول‌های ۷ و ۸ آورده شده است.

جدول ۷- نتایج و آمارهای مدل‌سازی پارامتر EC با روش شبکه عصبی-فازی

شماره کلاس	متغیرهای ورودی به شبکه	تابع خروجی	تابع عضویت	صحت سننجی	$R^2$	RMSE*
کلاس ۱	ECV(T-1) GLV(t) R(t-۲)	ECV(T+1)	Gaussmf-۳	۰/۰۴	۰/۹۱۹	۰/۰۵۲
کلاس ۲	GL۱۶(t) R(t-۲)	EC۱۶(T+1)	Timf-۳	۰/۰۳۵	۰/۹۰۱	۰/۰۵۷
کلاس ۳	EC۴(T-1) GL۴(t)	EC۴(T+1)	Gaussmf-۳	۰/۱۱۴	۰/۷۷۳	۰/۱۳۴
کلاس ۴	EC۵(T-1) R(t-۲)	EC۵(T+1)	Timf-۳	۰/۱۲۵	۰/۷۳۱	۰/۱۳۵

\* بر اساس داده‌های نرمال شده است.

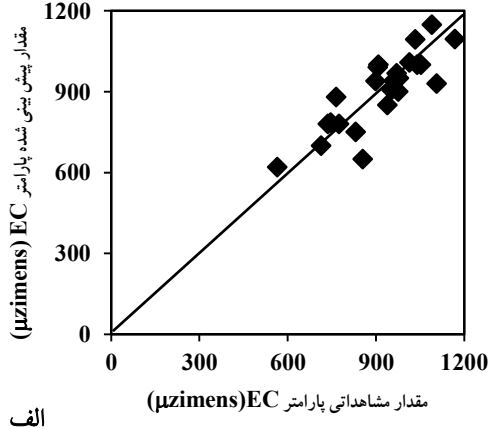
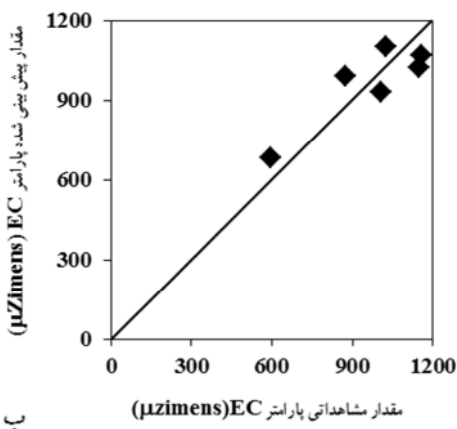
جدول ۸- نتایج و آمارهای مدل‌سازی پارامتر TDS با روش شبکه عصبی-فازی

شماره کلاس	متغیرهای ورودی به شبکه	تابع خروجی	تابع عضویت	$R^2$	صحت سنجی	واسنجی	RMSE*
کلاس ۱	TDS <sub>21</sub> (T-۱) GL <sub>21</sub> (t) R(t-۳)	TDS <sub>21</sub> (T+۱)	Pimf-۳	۰/۷۶۴	۰/۹۰۵	۰/۰۹۲	۰/۱۴
کلاس ۲	TDS <sub>24</sub> (T-۱) GL <sub>24</sub> (t) R(t-۲) P <sub>5</sub> (t)	TDS <sub>24</sub> (T+۱)	Pimf-۳	۰/۹۱۵	۰/۹۶۵	۰/۰۱۳۴	۰/۰۹۲
کلاس ۳	TDS <sub>26</sub> (T-۱) GL <sub>26</sub> (t)	TDS <sub>26</sub> (T+۱)	Pimf-۳	۰/۸۹۱	۰/۷۸۹	۰/۱۲۳	۰/۱۵۹
کلاس ۴	TDS <sub>9</sub> (T-۱) P <sub>4</sub> (t-۱)	TDS <sub>9</sub> (T+۱)	Gaussmf-۳	۰/۷۹۹	۰/۸۶	۰/۱۱۶	۰/۱۴۱

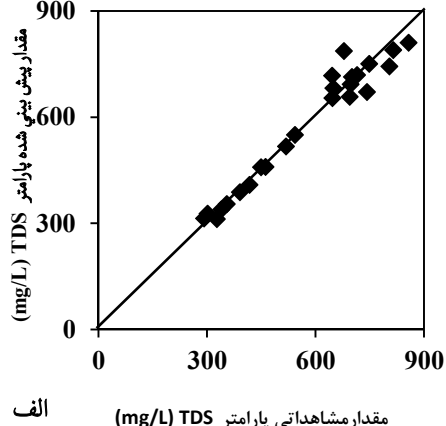
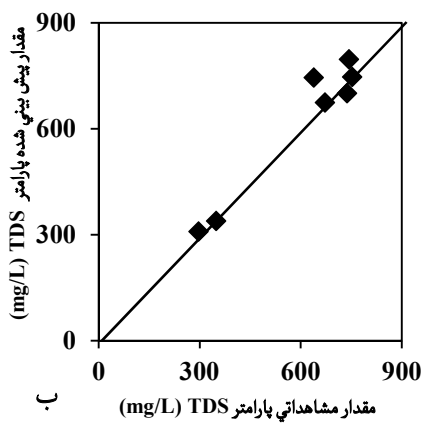
\* بر اساس داده‌های نرمال شده است.

ارتباط بین ورودی‌ها در زمان‌های گذشته و کیفیت آب زیرزمینی دیده می‌شود. نمودار داده‌های محاسباتی و مشاهداتی برای مراحل واسنجی و صحت‌سنجی در پیزومتر ۵ خوشة ۳ برای متغیر هدایت الکتریکی و پیزومتر ۲۴ خوشه ۲ برای متغیر کل جامدات محلول در شکل‌های ۸ و ۹ نشان داده شده‌اند.

در دشت اردبیل نمایش دهد. بنابراین می‌توان نتیجه گرفت که کاربرد روش عصبی- فازی به همراه آنالیز خوشبندی می‌تواند به عنوان یک ابزار مناسب برای پیش‌بینی پارامترهای کیفی آب زیرزمینی به کار گرفته شود. در مورد خوشه‌هایی که در آن‌ها پیش‌بینی با دقت بالایی صورت گرفته می‌توان پی برد که بیشترین



شکل ۸- نمودار سری زمانی داده‌های محاسباتی و مشاهداتی برای (الف) مرحله واسنجی و (ب) مرحله صحت‌سنجی در پیزومتر ۵ برای پارامتر EC



شکل ۹- نمودار سری زمانی داده‌های محاسباتی و مشاهداتی برای (الف)- مرحله واسنجی و (ب)- صحت‌سنجی در پیزومتر ۲۴ برای پارامتر TDS

ترتیب یک شبکه آموزش دیده برای آن حوضه داشت. بهره‌گیری از دیگر روش‌های دانش هوش مصنوعی و یا مدل‌سازی پارامترهای کیفی دیگر آب زیرزمینی در کنار پارامترهای هدایت الکتریکی و کل جامدات محلول می‌تواند اعتبار و عدم اعتبار این نوع مدل‌سازی را بهتر نمایان سازد. همچنین، به دلیل فقدان داده‌های ماهانه پارامترهای کیفی هدایت الکتریکی و کل جامدات محلول برای دشت اردبیل و انجام مدل‌سازی با استفاده از داده‌های شش ماه آن‌ها، کاربرد روش پیشنهادی این پژوهش برای آبخوان‌های دیگر با مدت زمان داده‌های بیشتر و در مقیاس ماهانه می‌تواند یک رهیافت مناسب در زمینه مدل‌سازی پارامترهای کیفی آب زیرزمینی باشد.

#### ۴-نتیجه‌گیری

ترکیب مدل شبکه عصبی-فازی با آنالیز خوشه‌بندی یک ایده نو برای به وجود آمدن شبکه‌ای توانمندتر است. نتایج حاصل از این مدل‌سازی نشان می‌دهد که بهره‌گیری از داده‌های هیدرولوژیکی پیزومترهای مرکزی خوشه‌های مختلف و مدل‌سازی کیفی آن توسط شبکه عصبی-فازی توانسته تا حدودی الگوی سری زمانی داده‌های کیفی در دشت اردبیل را تشخیص دهد و به نتایج نسبتاً مطلوبی منجر شود. همچنین خوشه‌بندی داده‌ها سبب بهبود هر چه بهتر فرایند مدل‌سازی و در نتیجه افزایش کارایی مدل شد. با توجه به این که مدل شبکه عصبی-فازی بر نگرش هوش مصنوعی بر پایه روش داده‌کاوی استوار است، این مدل را می‌توان برای هر دشت در داخل ایران مورد آموزش قرار داد و به این

#### ۵-مراجع

1. Nourani, V., Monadjemi, P., and Singh, V. P. (2007). "Liquid analog model for laboratory simulation of rainfall-runoff process." *J. Hydrol. Eng.*, 12(3), 246-255.
2. Hsu, K., Gupta, H. V., and Sorooshian, S. (1995). "Artifical neural network modeling of the rainfall-runoff process." *J. Hydrol.*, 31(10), 2517-2330.
3. Ma, T.S., Sophocleous, M., and Yu, Y.S. (1999). "Geostatistical applications in groundwater modeling in South-central Kansas." *J. Hydrol. Eng.*, 4(1), 57-64.
4. Mouser, D., and Rizzo., P. (2000). "Evaluation of geostatistics for combined hydrochemistry and microbial community fingerprinting at a waste disposal site." *Critical Trasnitions in Water and Environmental Resourcess Management*, doi: 10.1061/40737 (2004) 106.
5. Gaus, I., Kinniburgh, D.G., Talbot, J.C., and Webster, R. (2003). "Geostatistical analysis of arsenic concentration in groundwater in Bangladesh using disjunctive kriging." *Environ. Geo.*, 44, 939-948.
6. Barca, E., and Passarella, G. (2008). "Spatial evaluation of the risk of groundwater quality degradation. A comparison between disjunctive kriging and geostatistical simulation." *Environ. Monit. and Assess.*, 137, 261-273.
7. Taghizadeh Mehrjardi, R., Zareian Jahromi, M., Mahmodi, S., and Heidari, A. (2008). "Spatial distribution of groundwater quality with geostatistics (case study: Yazd-Ardakan plain)." *World Appl. Sci. J.*, 4(1), 9-17.
8. Samin, M., Soltani, J., Zeraatcar, Z., Moasher, A., and Sarani, N. (2012). "Spatial estimation of groundwater quality parameters based on water salinity data using Kriging and Cokriging Methods." *International Conference on Transport, Environment and Civil Engineering (ICTECE'2012)*, Kuala Lumpur, Malaysia.
9. Ahmadian, S. (2013). "Geostatistical based modelling of variations of groundwater quality during 2006 to 2009 (in Tehran-Karaj Plain)." *J. Basic Appl. Sci. Res.*, 3(2), 264-272.
10. Taheri Tizro, A, Voudouris, K., and Vahedi, S. (2014). "Spatial variation of groundwater quality parameters: A case study from a semiarid region of Iran." *Int. B. Water Resour. Develop.*, 1(3), 1-11.
11. Mousavifazl, H., Alizadh, A., and Ghahraman, B. (2013). "Application of geostatistical methods for determining nitrate concentrations in groundwater (case study of Mashhad plain, Iran)." *Int. J. Agri. Crop Sci.*, 5(4), 318-328.
12. Delbari, M., Bahraini Motlagh, M., Kiani, M., and Amiri, M. (2013). "Investigating spatio-temporal variability of groundwater quality parameters using geostatistics and GIS." *Intl. Res. J. Appl. Basic. Sci.*, 4(10), 3623-3632.

13. Taghizadeh-Mehrjardi, R. (2014). "Mapping the spatial variability of groundwater quality in Urmia, Iran." *J. Mater. Environ. Sci.*, 5(2), 530-539.
14. Peeters, L., and Dassargues, A. (2006). "Classification of groundwater samples in wetlands using self-organizing maps." *International Association for Mathematical Geology 6<sup>th</sup> International Congress*, Belgium. 3-8.
15. Snchez-Martos, F., Aguilera, P.A., Garrido-Frenich, A., Torres, J., and Pulido-Bosch, A. (2002). "Assessment of groundwater quality by means of self-organizing maps: Application in a semiarid area." *Environ. Manage.*, 30(5), 716-726.
16. Hong, Y-S., and Rosen, M.R. (2001). "Intelligent characterization and diagnosis of groundwater quality in an urban fractured-rock aquifer using an artificial neural network." *Urban Water*, 3, 193-204.
17. Peeters, L., Bacao, F., Lobo, V., and Dassargues, A. (2007). "Exploratory data analysis and clustering of multivariate spatial hydrogeological data by means of GEO3DSOM, a variant of Kohonen's self-organizing map." *Hydrol. Earth Sys. Sci.*, 11, 1309-1321.
18. Choi, B.Y., Yun, S.T., Kim, K.H., Kim, J.W., Kim, H.M., and Koh, Y.K. (2014). "Hydrogeochemical interpretation of South Korean groundwater monitoring data using self-organizing maps." *J. Geochem. Explor.*, 137, 73-84.
19. Nguyen, T.T., Kawamura, A., Tong, T.N., Nakagawa, N., Amaguchi, H., and Gilbuena, R. (2015). "Clustering spatio–seasonal hydrogeochemical data using self-organizing maps for groundwater quality assessment in the Red River Delta, Vietnam." *J. Hydro.*, 522, 661-673.
20. Maier, H.R., and Dandy, G.C. (1996). "The use of artificial neural networks for the prediction of water quality parameters." *Water Resour. Res.*, 32 (4), 1013-1022.
21. Lin, G.F., and Chen, G.R. (2005a). "Determination of aquifer parameters using radial basis function network approach." *J. Chinese Inst. Engineers*, 28 (2), 241-249.
22. Lin, G.F., and Chen, L.H. (2005b). "Time series forecasting by combining the radial basis function network and the self-organizing map." *Hydrol. Process*, 19 (10), 1925-1937.
23. Lin, G.F., and Chen, G.R. (2006). "An improved neural network approach to the determination of aquifer parameters." *J. Hydrol.*, 316 (1-4), 281-289.
24. Banerjee, P., Singh, V.S., Chatttopadhyay, K., Chandra, P.C., and Singh, B. (2011). "Artificial neural network model as a potential alternative for groundwater salinity forecasting." *J. Hydrol.*, 398, 212-220.
25. Orzepowski, W., Paruch, A.M., Pulikowski, K., Kowalczyk, T., and Pokladek, R. (2014). "Quantitative and qualitative assessment of agricultural water resources under variable climatic conditions of Silesian Lowlands (Southwest Poland)." *Agric. Water Manage*, 138, 45-54.
26. Mousavi, F., and Amiri, M. J. (2012). "Modelling nitrate concentration of groundwater using adaptive neural-based fuzzy inference system." *Soil Water Resour.*, 7(2), 73-83.
27. Kisi, O., and Ay, M. (2012). "Modelling COD concentration by using three different ANFIS techniques." *Sixteenth International Water Technology Conference*, Istanbul, Turkey, IWTC-16.
28. Tutmez, B., Hatipoglu, Z., and Kaymak, U. (2006). "Modelling electrical conductivity of groundwater using an adaptive neuro-fuzzy inference system." *Comput. Geosci.*, 32, 421-433.
29. Aqil, M., Kita, I., Yano, A., and Nishiyama, S. (2007). "Analysis and prediction of flow from local source in a river basin using a Neuro–fuzzy modeling tool." *J. Environ. Manage*, 85, 215-223.
30. Jang, J.S.R., Sun, C.T., and Mizutani, E. (1997). *Neuro–fuzzy and soft computing: A computational approach to learning and machine intelligence*, 3<sup>rd</sup> Ed., Prentice Hall, New Jersey.
31. Mohammadi, J. (2000). *Pedonmeter*, Pelk Pub., Tehran. (In Persian)
32. Kohonen, T. (1998). "The self-organizing map." *Neurocomputing*, 21, 1-6.
33. Hsu, K., and Li, S. (2010). "Clustering spatial–temporal precipitation data using wavelet transform and self-organizing map neural network." *Adv. Water Resour.*, 33, 190-200.
34. Myers, D.E. (1982). "Matrix formulation of cokriging." *Math. Geol.*, 14, 249-257.